УДК 539.194.199

БИОФИЗИКА

Ю. Н. ЧИРГАДЗЕ, Н. А. НЕВСКАЯ

РЕЗОНАНСНЫЕ ВЗАИМОДЕЙСТВИЯ ОСНОВНЫХ АМИДНЫХ КОЛЕБАНИЙ В УПОРЯДОЧЕННЫХ ПЕПТИДНЫХ СТРУКТУРАХ

(Представлено академиком А. С. Спириным 20 IX 1972)

Применение колебательной спектроскопии для изучения строения полимеров, и в частности важных биологических полимеров - полицентидов и белков, основано на анализе тонкой структуры полос основных характеристических колебаний повторяющихся групп молекулы. Амилные полосы полипентидов расщенляются в и.-к. спектрах на ряд компонентов (1). Интенсивность, поляризация и частоты этих компонентов зависят от типа конформации полицентидных ценей и способа их упаковки. Около десяти лет пазад было дано общее объяснение расщепления амидных полос на основе теории возмущения докализованных колебаний ближайших пептилных групп (2) и получены эмпирические значения коэффициентов взаимодействия для колебаний Амид I и II (3-5). Исходя из этого было дано отнесение основных компонентов указанных колебаний для α-спиральной и β-конформаций в и.-к. спектрах (1-5) и спектрах комбинационного рассеяния (⁶). Эти результаты имели большое значение для понимания спектров белков и их использования в аналитических целях. Однако природа колебательных взаимодействий оставалась невыясиснной. Существенно также, что этот подход нельзя было применить для детального анализа оптических свойств пептидных структур другого типа, например глобулярных белков или молекулярных кристаллов, поскольку возникали естественные трудности, связанные с невозможностью использования одних и тех же коэффициентов взаимодействия для различных структур.

В данном сообщении изложены результаты теоретического анализа природы колебательных взаимодействий амидных колебаний для кристалла ацетанилида, а также упорядоченных конформаций полицептидов: антипараллельного складчатого β-слоя и α-спирали. Рассмотрено два типа резонансных взаимодействий, которые могли бы объяснить экспериментально наблюдаемое расщепление в этих структурах. Одно из них — кинематическое взаимодействие, связанное с передачей колебательных движений ближайшим пептидным группам, и второе — динамическое взаимодействие электрических моментов колебательных переходов. До настоящего времени второй тип взаимодействия, как правило, не учитывали при рассмотрении колебательных взаимодействий. Развитие теории молекулярных экситонов (7) и знание характеристик моментов переходов позволяют сейчас перейти к анализу взаимодействий этого типа.

Оценка кинематических колебательных взаимодействий для ди- и трипентидного фрагментов полипентидной цепи была проведена нами путем расчета частот колебаний многоатомных молекул (8) с использованием внутримолекулярного силового поля из работ (9, 10). Оказалось, что расщепление частот колебаний Амид I и II составляет всего несколько см⁻¹. Введение межмолекулярного силового поля водородных связей с константами из работы (11) должно привести к еще меньшему сдвигу частот отдельных компонентов. Это означает, что расщепление частот амидных колебаний нельзя объяснить кинематическим взаимодействием.

Динамическое взаимодействие моментов перехода рассматривали в диполь-дипольном приближении, в этом случае резонансный сдвиг частоты

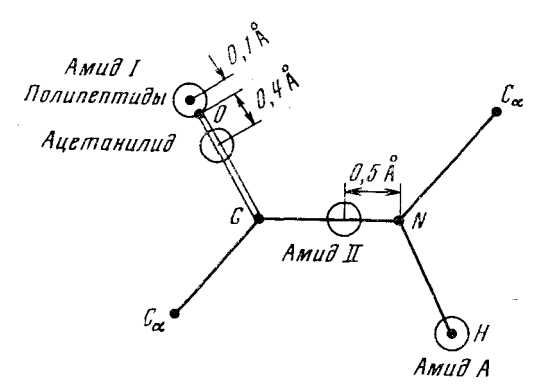


Рис. 1. Локализация центров точечных диполей моментов переходов для амидных колебаний. Все переходы поляризованы в плоскости пентидной группы

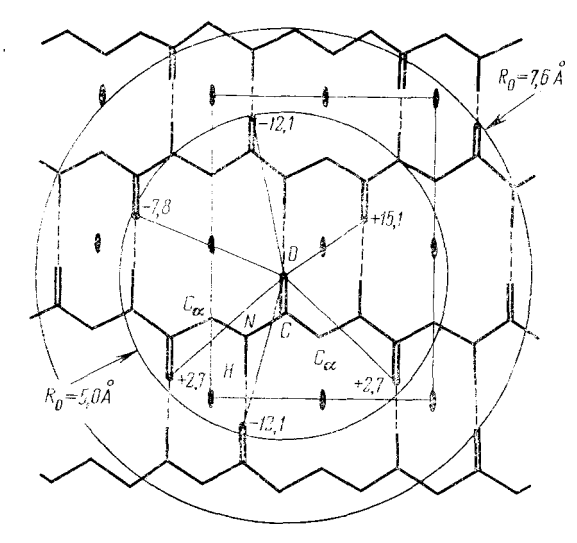


Рис. 2. Резопансные сдвиги частот колебания Амид I в полипентидной структуре — β -слое с антинараллельной упаковкой цепей. Выделенным прямоугольником обозначена элементарная ячейка. Окружностями радиусов 5,0 и 7,6 Å показаны следы первой и второй координационных сфер но отношению к пептидным группам. Цифры указывают величину и паправление частотного сдвига в см⁻¹ для вакуумной среды

выражается формулой

$$\mathbf{v}_f - \mathbf{v}_0 = \frac{1}{h} \sum_{n\alpha} C_{\alpha}^f C_{\beta}^f V_{n\alpha, m\beta},$$

$$n\alpha \neq m\beta.$$

здесь п, т - числа, нумеруюшие элементарные кристалла; α , β — числа, нумерующие пептидные группы в элементарной ячейке; $C_{\alpha}{}^{f}$ и $C_{\mathfrak{g}}^{f}$ — фазовые коэффициенты (коэффициенты симметрии) для колебания типа симметрии f; h — постоянная Планка; v_0 — частота невозмущенного колебания. Матричный элемент $V_{n\alpha, \ m\beta}$ оператора диполь-дипольного взаимодействия моментов переходов, локализованных в двух пептидных группах, равен

$$egin{aligned} V_{nm{a},meta} &= rac{\mu_{nm{a}}\mu_{meta}}{arepsilon R^3} \left[ar{e}_{nm{a}}ar{e}_{meta} -
ight. \ &= 3 \left(ar{n}_0ar{e}_{nm{a}}
ight) \left(ar{n}_0ar{e}_{meta}
ight)
ight]. \end{aligned}$$

В этой формуле μ — модуль матричного элемента перехода, R — расстояние между центрами точечных диполей, ε — эффективная диэлектрическая проницаемость среды, \bar{e} — единичный вектор момента перехода, \bar{n}_0 — единичный вектор вдоль линии, связывающей центры диполей.

Направления моментов перехода известны из поляризационных измерений спектров молекулярных кристаллов (1). Величины моментов переходов были определены нами из абсолютных интен-

сивностей полос в и.-к. спектрах. Для ацетанилида мы воспользовались данными по растворам ассоциированных молекул в инертных растворителях с последующим пересчетом на 100% содержание молекул, связанных водородными связями. Моменты переходов амидных колебаний для β -структуры были измерены на растворах полипептидов также с пересчетом на 100% содержание упорядоченной формы, для α -спирали параметры мементов перехода взяты из работы (12). При расчетах принимали $\epsilon = 1$. Локализация центров диполей только в одном случае колебания Амид А (валентное колебание NH-связи) не вызывала сомнений: диполь был размещен в центре атома водорода. Для колебаний Амид I и II положение диполей изменяли в процессе расчетов до получения лучшего согласия с опытом. Во всех рассмотренных случаях удалось достаточно однозначно локализовать центры диполей (рис. 1). Пространственное расположение

-

	Момент перехода	Экспериментально наблюдаемые частоты и расщепление, см ⁻¹					Вычисленное расщепление, см ⁻¹	
Кристалл ацетапилида								
Ко лебание	μ, D	°а	Уb	" c	ν _a - ν _b	ν _c — ν _b	ν _a - ν _b	ν _c — ν _b
Амид А Амид I Амид II	$ \begin{array}{ c c c } 0,28 \\ 0,24 \\ 0,23 \end{array} $	3305 1667 1555	3294 1666 1538	3307 1669 1562	11 1 18	13 3 24	29.2 1.8 16.3	28,8 3,1 24,8

Антипараллельная 3-форма полицептидных цепей

Колебание	μ,D	γA	νB ₁	$^{v}\mathrm{B}_{2}$	$v_{ m A} - v_{ m B_2}$	$v_{\mathrm{B_1}} - v_{\mathrm{B_2}}$	$^{5}\mathrm{A}$ - $^{5}\mathrm{B}_{2}$	$\nu_{\mathbf{B_1}} - \nu_{\mathbf{B_2}}$
Амид А	0,23		32 7 8	3272		6	16,0	$\frac{22}{76}, \frac{9}{3}$
Амид I	0,39	1665	1700	1630	35	70	38,0	

α-Спиральная форма полицентидной цени

Колебание	μ,D	УA	νE1	ν _{Ε1} — ν _Α	$v_{\rm E_1}$ — $v_{\rm A}$
Амид А Амид I Амид II	$0,22 \\ 0,29 \\ 0,20$	3292 1652 1518	3294 4655 4549	2 3 31	$\begin{array}{c} 4,6 \\ -1,6 \\ 35,5 \end{array}$

молекул и экспериментальные значения расщеплений и.-к. активных полос, поляризованных вдоль кристаллографических осей a, b и c, для кристалла ацетанилила взяты из работ (13 , 14). Геометрия β -формы и α -сипрали взяты из работ (15 , 16). Частоты компонентов амидных колебаний— из работ (6 , $^{17-20}$). Учитывали взаимодействие всех пептидных групи внутри сферы раднуса R_0 , в случае β -формы рассматривали двухмерный слой, в случае спирали— только внутримолекулярные взаимодействия. Сфера минимального радиуса около 5 Λ включала все ближайшие пептидные групны. Полное насыщение эффектов взаимодействия происходило для $R_0 \geqslant 20$ Λ , отнако 80% эффекта постигалось для R_0 от 5 ло 7 Λ .

 \geqslant 20 Å, однако 80% эффекта достигалось для R_0 от 5 до 7 Å. Результаты теоретических расчетов для R_0 от 5 до 7 Å. Оноставлены с имеющимися экспериментальными данными в табл. 1. Для колебания Амид А вычисленные величины расшеплений приблизительно в 2,5 раза выше экспериментальных. Этот результат не изменялся при смещении центра диполя вдоль связи NH. Для колебаний Амид I и II согласие с опытом хорошее. Если принять $\varepsilon = n^2$, то, поскольку показатель преломления $n \simeq 1.5$, для Амид А будет достигнуто согласие с опытом, однако для Амид I и II требуется сохранить $\varepsilon = 1$. Различие в значениях эффективной диэлектрической проницаемости получает свое объяснение. Вспомним, что эффект расщепления в основном создается взаимодействием ближайших контактирующих пептидных групп атомов. В случае валентных NH-колебаний реальная локализация диполя перехода очень высока, так как при колебании существенно изменяются координаты только атома водорода. Вся остальная часть пептидной группы, и в особенности группа СОN, мо-

жет играть роль поляризуемой среды, отсюда $\varepsilon=n^2$. При колебании Амид I смещаются атомы C, O и N, а при колебании Амид II — атомы C, O, N и H (°). Поэтому в этих случаях поляризации «среды» между диполями переходов практически не происходит, что соответствует вакуумному значению $\varepsilon=1$. Для пептидных групп второй координационной сферы с $R_0=7.6$ Å следует брать $\varepsilon=n^2$, однако их роль в резонансном взаимодействии несущественна.

Таким образом, наблюдаемое фактор-групповое (давыдовское) расщепление частот основных амидных колебаний в упорядоченных пептидных структурах можно однозначно объяснить резонансным взаимодействием моментов переходов в диполь-дипольном приближении. При расчете необходимо принимать во внимание, по крайней мере, все ближайшие пептидные группы в сфере радиусом 5,0—5,5 Å. Именно этот результат объясняет успех прежиего полуэмпирического рассмотрения применительно к полипентидным структурам, в котором учитывались взаимодействия только ближайших групп по цепи молекулы и через водородную связь. Проведенный сейчас анализ показывает, что это пе вссгда верно. Рассмотрим, например, взаимодейстствия для колебания Амид I в антипараллельном β-слое, проекция которого приведена на рис. 2. Очепь существенными оказываются неучитываемые ранее диагональные взаимодействия ближайших пептидных групп, связанных осями симметрии 2-го порядка.

По нашему мнению, определение природы резонансных взаимодействий амилных колебаний и возможность расчета частотных расщеплений отдельных компонентов будет иметь важное значение для изучения строения сложных полипентидных структур — фибриллярных и глобулярных белков.

В заключение авторы выражают благодарность Е. В. Бражникову, С. Ю. Веньяминову, Б. В. Шестопалову и И. И. Букатиной за участие в измерениях абсолютных интенсивностей в и.-к. спектрах.

Институт белка Академии наук СССР Пущино-на-Оке Поступило 15 IX 1972

ЦИТИРОВАННАЯ ЛИТЕРАТУРА

¹ Ю. Н. Чиргадзе, Инфракрасные спектры и структура полипентидов и белков, «Наука», 1965. ² Т. Міуаzawa, J. Chem. Phys., 32, 1647 (1960). ³ Т. Міуаzawa, E. R. Blout, J. Am. Chem. Soc., 83, 712 (1961). ⁴ S. Krimm, J. Mol. Biol., 4, 528 (1962). ⁵ E. M. Bradbury, A. Elliott, Polymer, 4, 47 (1963). ⁶ J. L. Konig, P. L. Sutton, Biopolymers, 10, 89 (1971). ¬ A. С. Давыдов, Теория молекулярных экситонов, «Наука», 1968. ⁵ Л. А. Грибов, Введение в теорию и расчет колебательных спектров многоатомных молекул, Л., 1965. ∘ Ю. Н. Чиргадзе, Биофизика, 7, 523 (1962). ¹⁰ Е. М. Попов, В. Н. Желтова, Г. А. Коган, ЖСХ, 11, 1053 (1970). ¹¹ К. Ітоh, Т. Shimanouchi, Biopolymers, 5, 921 (1967). ¹² Ю. Н. Чиргадзе, Е. П. Рашевская, Биофизика, 14, 608 (1969). ¹³ С. J. Brown, D. Corbridge, Acta crystallogr., 7, 711 (1954). ¹⁴ N. B. Abbott, A. Elliott, Proc. Roy. Soc. A, 234, 247 (1954). ¹⁵ S. Arnott, S. D. Dover, A. Elliott, J. Mol. Biol., 30, 201 (1967). ¹⁶ S. Arnott, S. D. Dover, J. Mol. Biol., 30, 209 (1967). ¹⁶ E. Suzuki, Spectrochim. acta, 23A, 2303 (1967). ¹⁶ R. Fraser, E. Suzuki, Spectrochim. acta, 26A, 423 (1970). ¹ఄ E. G. Bendit, Biopolymers, 4, 539 (1966). ²⁰ M. Tsuboi, J. Polymer Sci., 59, 139 (1962).